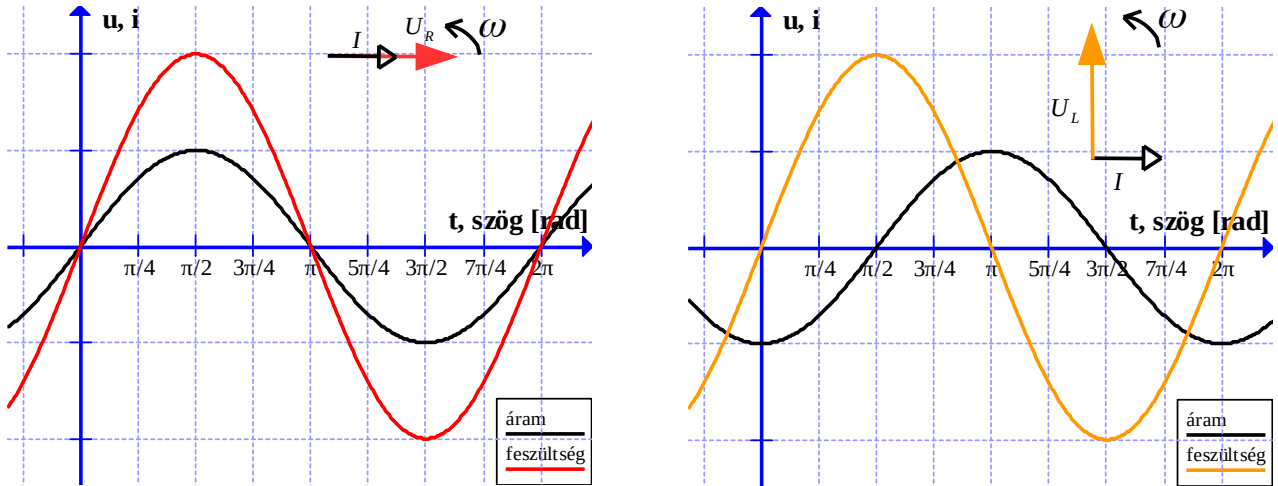
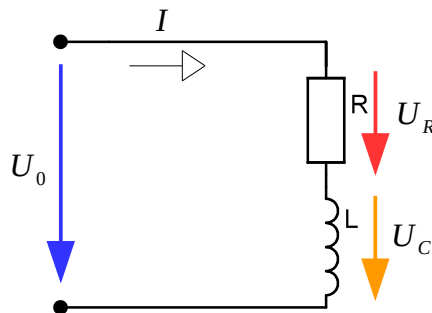


A soros RL-kör

Mint ismeretes, a tekercsen az áram 90 fokot késik a feszültséghez képest, ahogyan az az 1. ábrán látható. A valós terhelésen a feszültség és az áramerősség azonos fázisú. Lényegében viszonyítás kérdése, de lássuk meg, hogy a valós terhelésen (ellenálláson) eső feszültséghez képest a tekercsen 90°-ot siet a feszültség.

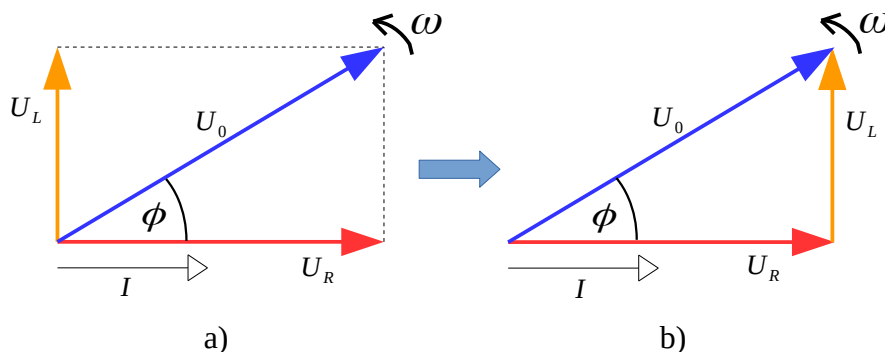


1. ábra Feszültség és áramviszonyok az ellenálláson, illetve a tekercsen



2. ábra a soros RL-kör kapcsolási rajza

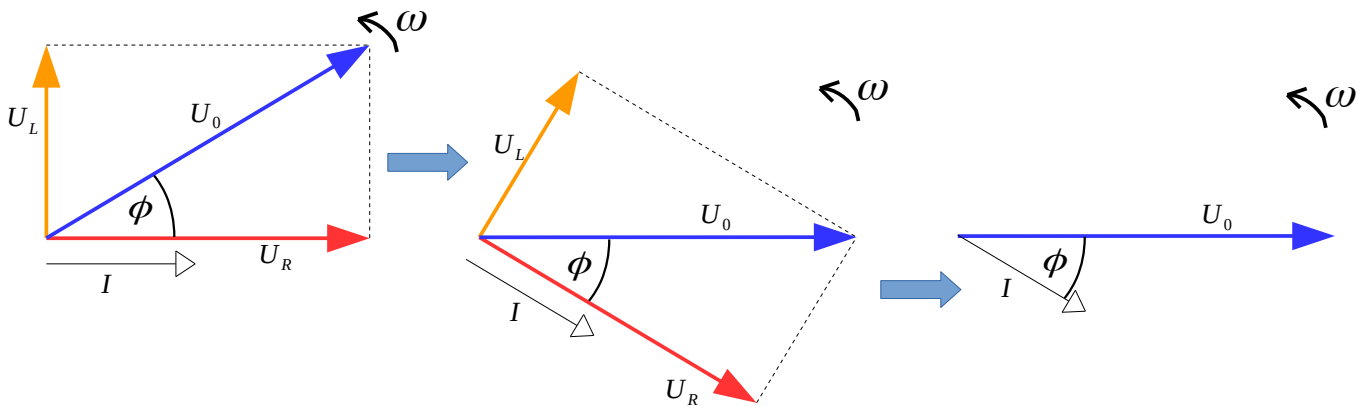
Tekintettel arra, hogy soros körről van szó, megállapítható, hogy közös az áram. Noha a soros egyenáramú köröknél megtanultuk, hogy Kirchhoff II. törvénye (huroktörvény) szerint a részfeszültségek összege egyenlő a forrás feszültségével, itt ez nem járható számítási mód, a valós ellenálláson és a reaktancián eső feszültségek által bezárt szög miatt. Tehát a Pitagorasz-tétel alkalmazása válik szükségessé. A 3. ábrán követhetjük nyomon a soros RL-kör feszültségviszonyait. A kapacitás és a valós ellenállás feszültségének vektoriális összege adja a soros RC-kört tápláló forrás feszültségét (komplex feszültség). Mint említettük, a Pitagorasz-tétel alkalmazása eme helyen kap aktualitást. Egy egyszerű eltolással a (U_L) a 3. b) ábra szerinti háromszöget kapva a művelet egyértelműen elvégezhető: $|U_0| = \sqrt{U_R^2 + U_L^2}$.



3. ábra

A feszültség-fázorábra elkészítése

- Soros kapcsolásról beszélünk, vagyis közös az áram. Rajzoljuk fel vízszintesen a kör egyetlen közös mennyiségének – az áramnak – a fázorát (I).
- Jelöljük a fázor forgásirányát!
- Az ellenálláson a feszültség mindig azonos fázisú, ennek megfelelően rajzoljuk fel a fázort (U_R) !
- A tekercsen a feszültség (U_L) pontosan 90° -ot siet az áramhoz képest. Ennek megfelelően vegyük fel a fázorát!
- Vektoriálisan összegezzük a tekercs és az ellenállás feszültség-fázorát, mely által megkapjuk a soros RL-kört tápláló generátor feszültség-fázorát (U_0) !
- A (ϕ) szög a kör áramának és a forrás feszültségének fázora között értelmezett. Jelöljük be a (ϕ) - szöget!

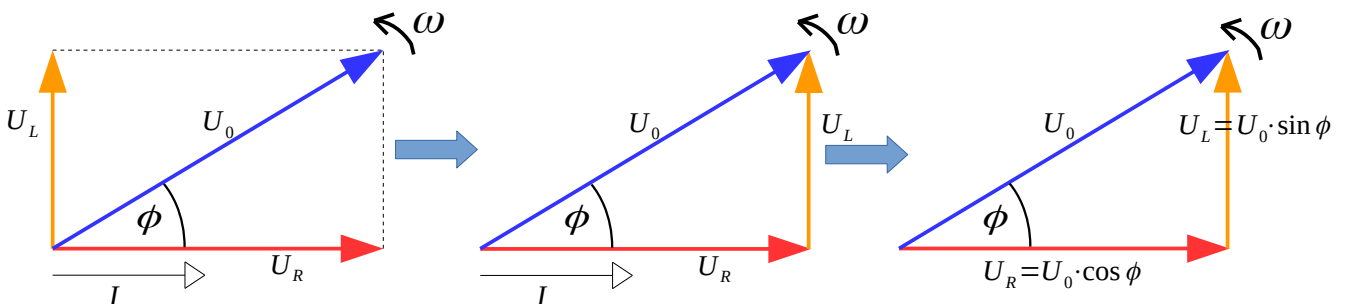


4. ábra

A 4. ábra szerinti elrendezésben a következőkre lehetünk figyelmesek:

- A forrás feszültsége a két feszültség-komponens vektoriális összege;
- A (ϕ) szög a forrás feszültsége és a hálózat által „igényelt” áramerősség fázora között értelmezett;
- Az ellenálláson eső feszültség és a rajta átfolyó áramerősség mindig azonos fázisú, így a fázoraik azonos irányúak. Mindebből az következik, hogy a (ϕ) szög a forrás, valamint az ellenállás feszültségének fázora között is értelmezhető;
- Ha az impedancia induktív jellegű, akkor a forrás feszültségéhez képest az áram késik!

A 2. b) ábra szerinti eltolással kapott ábrában egy háromszöget kaptunk. A háromszög két befogója az U_R és az U_L feszültségkomponens, az átfogó pedig az U_0 forrásfeszültség. Trigonometriai ismereteinket felelevenítve (4. ábra) belátható, hogy az U_R fázor az U_0 fázor koszinuszos vetülete: $U_R = U_0 \cdot \cos \phi$, az U_L fázor pedig a szinuszos vetülete: $U_L = U_0 \cdot \sin \phi$.



5. ábra

Az impedancia-fázorábra elkészítése

Ohm törvénye alapján tudjuk, hogy az ellenállás úgy számítható ki, hogy a kétpóluson eső feszültséget elosztjuk a rajta átfolyó áramerősséggel. Ez igaz valós ellenállás esetén. Hasonlóan számítható a kapacitás látszólagos ellenállása is, vagyis a reaktanciája.

Ismételjünk néhány vonatkozó fogalmat!

- ellenállás: az impedancia valós része: $R = \frac{U_R}{I}$;
- a tekercs induktív látszólagos ellenállása: induktív reaktancia, induktancia, az impedancia induktív képzetes része: $X_L = \omega \cdot L = \frac{U_L}{I}$;
- impedancia: komplex ellenállás, amely valós ellenállásból és látszólagos ellenállásból tevődik össze. Mivel az impedancia képzetes és valós része nem azonos fázisú (90° -os szöget zárnak be), ezért az impedancia kiszámítása a Pitagorasz-tétel segítségével lehetséges: $|Z| = \sqrt{R^2 + X_L^2} = \frac{U_0}{I}$

Tanulmányaink folyamán láttuk, hogy mind a induktív, reaktancia frekvenciafüggő.

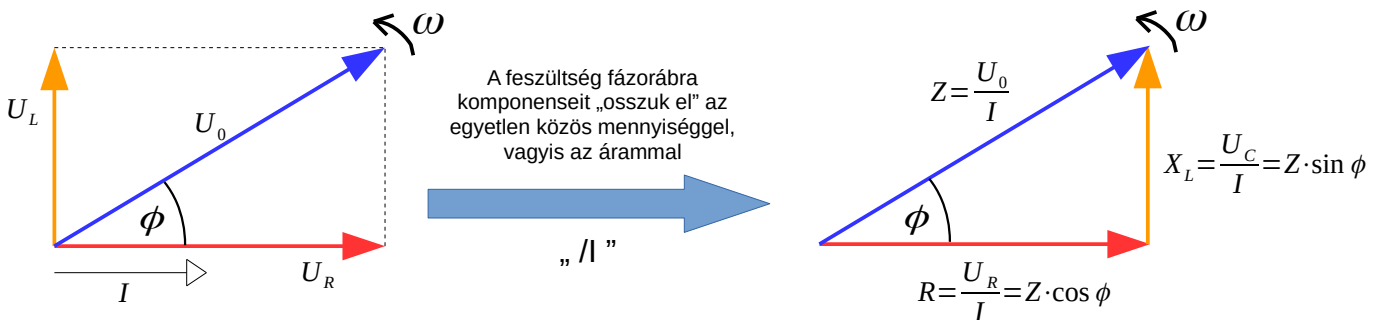
Induktív reaktancia: $X_L = \omega \cdot L = 2 \cdot \pi \cdot f \cdot L$, valamint frekvenciafüggése: $X_L \sim f$.

ha ω nő, akkor ωL , vagyis X_L nő

Amennyiben tehát egy adott soros RL-kapcsolás esetén változtatjuk a frekvenciát (f, ω), úgy az induktív reaktancia értéke is változik, akkor is, ha a forrás feszültségét (U_0) nem változtattuk. Ha az induktív reaktancia (X_L) értéke változik, s vele együtt az impedancia (Z) értéke, az impedancia és a valós ellenállás által bezárt szög (ϕ), valamint a köráram (I) is változik. Ha csökkentjük a frekvenciát, akkor az induktív reaktancia csökken, vele együtt a (ϕ) szög és az impedancia is, az áram viszont nő. Ha növeljük a frekvenciát, megfordul a helyzet: az induktív reaktancia értéke nő, vele együtt a (ϕ) szög és az impedancia is, miközben a köráram csökken. Amennyiben a feszültség fázorábra valamennyi komponensét elosztjuk a soros RC-kör egyetlen közös mennyiségével (vagyis az árammal), akkor az impedancia komponenseket kapjuk eredményül. Lássuk meg, hogy az eredményül kapott impedancia-fázorábra a feszültség-fázorábrával arányos. Az impedancia koszinuszos vetülete az ellenállás, a szinuszos vetülete pedig az induktív reaktancia.

$$R = \frac{U_R}{I} ; X_L = \frac{U_L}{I} ; |Z| = \frac{U_0}{I} . \qquad |U_0| = \sqrt{U_R^2 + U_L^2} \Rightarrow |I| \Rightarrow |Z| = \sqrt{R^2 + X_L^2}$$

$$R = |Z| \cdot \cos \phi \text{ és } X_L = |Z| \cdot \sin \phi$$



6. ábra Az impedancia-fázorábra származtatása

A teljesítmény-fázorábra elkészítése

Egyenáramú körök esetén megtanultuk, hogy egy valós terhelésen (ellenállás) hővé alakuló teljesítmény az ellenállás kapcsain mérhető feszültség, valamint a rajta átfolyó áramerősség szorzataként számítható. Hővé alakuló teljesítmény (valós) jön létre az ellenálláson váltakozó áramú körben is, ám ilyenkor a pillanatnyi teljesítményt, csúcsteljesítményt, valamint effektív teljesítményt értelmezünk. Valós teljesítmény csak valós (ohmos, rezisztív) ellenálláson tud létrejönni, amely kétpóluson eső feszültség és a rajta átfolyó áramerősség azonos fázisú.

Egyenáramú teljesítmény: $P = U_R \cdot I_R$

Váltakozó áramú teljesítmény:

Pillanatnyi teljesítmény: $p = u_R \cdot i_R$

Csúcsteljesítmény: $\hat{P} = \hat{U} \cdot \hat{I}$

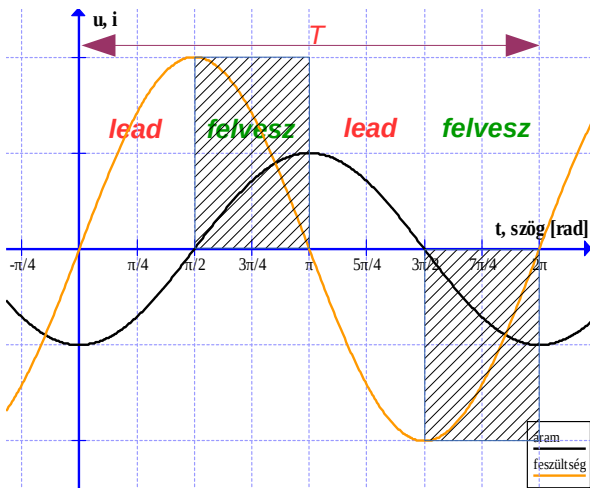
Effektív teljesítmény: $P_{eff} = \frac{\hat{P}}{2} = \frac{\hat{U} \cdot \hat{I}}{2} = \frac{\hat{U}}{\sqrt{2}} \cdot \frac{\hat{I}}{\sqrt{2}} = U_{eff} \cdot I_{eff}$

Az induktív reaktancia áramához képest a feszültsége pontosan 90°-ot siet. A 7. ábrán látható, hogy ebben az esetben negyed periódusig azonos, negyed periódusig pedig ellentétes előjelű a feszültség és az áramerősség. Ennek megfelelően negyed periódusig teljesítményt vesz fel a hálózatról, mely teljesítményt a következő negyed periódusban leadja. Lényegében teljes periódusra vonatkoztatva elmondható, hogy az induktív reaktancia teljesítménye nulla, tehát nincs hatásos teljesítmény ($\sum P = 0$).

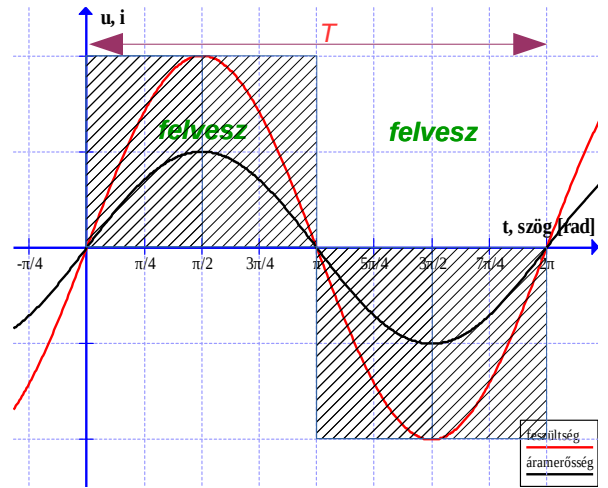
- 1. negyed periódus: $P_{(1)} = U \cdot I = (+) \cdot (+) = (+) \Rightarrow$ felvesz
- 2. negyed periódus: $P_{(2)} = U \cdot I = (+) \cdot (-) = (-) \Rightarrow$ lead
- 3. negyed periódus: $P_{(3)} = U \cdot I = (-) \cdot (-) = (+) \Rightarrow$ felvesz
- 4. negyed periódus: $P_{(4)} = U \cdot I = (-) \cdot (+) = (-) \Rightarrow$ lead

ahol: $|P_{(1)}| = |P_{(2)}|$ és $|P_{(3)}| = |P_{(4)}|$;
 $P_{(1)} = P_{(3)}$ és $P_{(2)} = P_{(4)}$.

Mindebből következik, hogy:
 $\sum P = P_1 + P_2 + P_3 + P_4 = 0$
 Látszólag: $P = U \cdot I$
 Valójában: $P = 0$



7. ábra Az induktív reaktancia teljesítménye



8. ábra Az ellenállás teljesítménye

Lássuk meg: a tekercsen (mint reaktancián) eső feszültség és a rajta átfolyó áram szorzata tehát nem ad valós teljesítményt (7. ábra)! Ez a teljesítmény az úgynevezett meddő teljesítmény: $Q = U_L \cdot I$ [VAr] .

Emellett jól megfigyelhető a 8. ábrán, hogy az ellenálláson bármely félperiódus esetén a teljesítményszorzat pozitív értékű, tehát a rezisztív (ohmos) terheléseken mindig valós, más néven hatásos (hővé, fényvé, mozgási energiává alakuló) a teljesítmény:

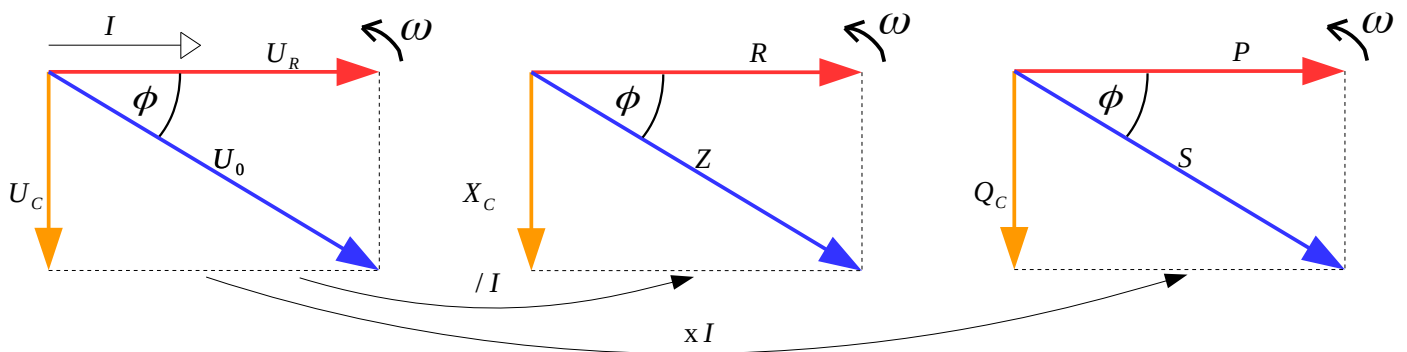
- 1. félperiódus: $P_{(1)} = U \cdot I = (+) \cdot (+) = (+) \Rightarrow$ felvesz;
- 2. félperiódus: $P_{(2)} = U \cdot I = (-) \cdot (-) = (+) \Rightarrow$ felvesz.

Amennyiben a feszültség-fázorábra valamennyi komponensét megszorozzuk a soros RL-kör egyetlen közös mennyiségével (vagyis az árammal), akkor a kör teljesítménykomponenseit kapjuk eredményül. Megfigyelhető, hogy az eredményül kapott teljesítmény-fázorábra a feszültség-fázorábrával arányos. Az induktív reaktancia meddő teljesítményének, valamint az ellenállás valós teljesítményének vektoriális összege a hálózathoz felvett komplex teljesítmény, vagyis a látszólagos teljesítmény. Mindezek tükrében az is belátható, hogy a komplex teljesítmény (látszólagos teljesítmény, S) koszinuszos vetülete az ellenálláson létrejövő valós, vagyis a hatásos teljesítmény (P), a szinuszos pedig az induktív reaktancia meddő teljesítménye.

$$P = U_R \cdot I \text{ [W]}; \quad Q_L = U_L \cdot I \text{ [VAr]}; \quad S = U_0 \cdot I \text{ [VA]}. \quad |U_0| = \sqrt{U_R^2 + U_L^2} \Rightarrow \cdot I \Rightarrow |S| = \sqrt{P^2 + Q_L^2}$$

$$P = |S| \cdot \cos \phi \text{ és } Q_L = |S| \cdot \sin \phi$$

Összegezzünk minden eddig megismert adatot!



9. ábra A soros RL-kör fázorábrái (feszültség-, impedancia- és teljesítmény-)

Forrásfeszültség (komplex fesz.): $U_0 = \sqrt{U_R^2 + U_L^2}$	Impedancia (komplex ellenállás): $ Z = \sqrt{R^2 + X_L^2}$	A látszólagos teljesítmény (komplex teljesítmény): $ S = \sqrt{P^2 + Q_L^2}$
Az ellenálláson eső feszültség: $U_R = U_0 \cdot \cos \phi$	Az ellenállás: $R = Z \cdot \cos \phi$	A valós teljesítmény: $P = S \cdot \cos \phi$
Fázistényező: $\cos \phi = \frac{U_R}{ U_0 }$	Fázistényező: $\cos \phi = \frac{R}{ Z }$	Fázistényező: $\cos \phi = \frac{P}{ S }$
A valós feszültség (valamint áram) és a forrásfeszültség által bezárt szög: $\phi = \arccos \frac{U_R}{ U_0 }$	A valós ellenállás és az impedancia által bezárt szög: $\phi = \arccos \frac{R}{ Z }$	A valós teljesítmény és a látszólagos teljesítmény által bezárt szög: $\phi = \arccos \frac{P}{ S }$
A kondenzátoron eső feszültség: $U_L = U_0 \cdot \sin \phi$	Az induktív reaktancia (induktív látszólagos ellenállás, kapacitancia): $X_L = Z \cdot \sin \phi$	A meddő teljesítmény: $Q_L = S \cdot \sin \phi$

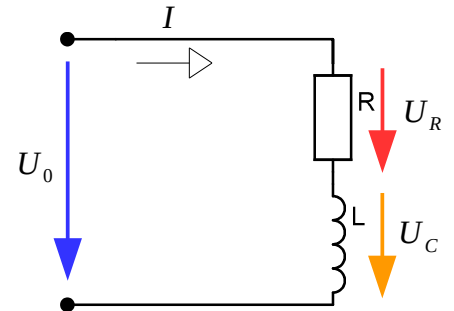
1. táblázat

Nézzünk egy számpéldát!

Állítsunk össze egy soros RL-kört, a következő értékek és adatok mellett!

$$R = 1 \text{ k}\Omega ; L = 10 \text{ H} ; U_0 = 100 \text{ V} ;$$

$$f_1 = 50 \frac{1}{\text{s}} = 50 \text{ Hz} ; f_2 = 25 \frac{1}{\text{s}} = 100 \text{ Hz}$$



10. ábra

Készítsük el a feszültség-, az impedancia-, valamint a teljesítmény fázorábrát két különböző frekvenciájú forrás esetén! Eme feladat kidolgozása során képet kaphatunk arról, hogy állandó feszültség mellett, ámde különböző frekvenciákon hogyan változnak a feszültségek, az ellenállások, a teljesítmények, s vele együtt a fázisszög.

Eredmények 50Hz esetén

A tekercs induktív látszólagos ellenállása:

$$X_{L50} = \omega L = 2 \pi f L = 2 \pi \cdot 50 \frac{1}{\text{s}} \cdot 10 \text{ H} = 2 \pi \cdot 50 \frac{1}{\text{s}} \cdot 10 \frac{\text{Vs}}{\text{A}} = 1000 \pi \Omega = 3141,59 \Omega$$

Az impedancia: $Z_{50} = \sqrt{R^2 + X_L^2} = \sqrt{1000 \Omega^2 + 3141,59 \Omega^2} = 3296,9 \Omega$

Az áramerősség: $|I_{50}| = \frac{U_0}{Z} = \frac{100 \text{ V}}{3296,9 \Omega} = 30,33 \text{ mA}$

A tekercsen eső feszültség: $U_{L50} = X_L \cdot I_{50} = 3141,59 \Omega \cdot 30,33 \text{ mA} = 95,29 \text{ V}$

Az ellenálláson eső feszültség: $U_{R50} = R \cdot I_{50} = 1000 \Omega \cdot 30,33 \text{ mA} = 30,33 \text{ V}$

A forrásfeszültség ellenőrzése: $U_0 = \sqrt{U_R^2 + U_C^2} = \sqrt{(95,29 \text{ V})^2 + (30,33 \text{ V})^2} = 100 \text{ V}$

A tekercs meddő teljesítménye: $Q_{C50} = U_{C50} \cdot I_{50} = 95,29 \text{ V} \cdot 30,33 \text{ mA} = 2,89 \text{ var}$

Az ellenállás hatásos teljesítménye: $P_{50} = U_{R50} \cdot I_{50} = 30,33 \text{ V} \cdot 30,33 \text{ mA} = 0,92 \text{ W}$

A látszólagos teljesítmény: $|S_{50}| = \sqrt{P^2 + Q^2} = \sqrt{0,92 \text{ W}^2 + 2,89 \text{ var}^2} = 3,033 \text{ VA}$

$$|S_{50}| = U_0 \cdot I_0 = 100 \text{ V} \cdot 30,33 \text{ mA} = 3,033 \text{ VA}$$

A $\cos \phi$ (a feszültség-fázorábrából):

$$\cos \phi_{50} = \frac{U_{R50}}{U_0} = \frac{30,33 \text{ V}}{100 \text{ V}} = \frac{R}{|Z_{50}|} = \frac{1000 \Omega}{3296,9 \Omega} = \frac{P_{50}}{|S_{50}|} = \frac{0,92 \text{ W}}{3,033 \text{ VA}} = 0,3033$$

A ϕ fázisszög (a feszültség-fázorábrából), 50 Hz esetén, : $\phi_{50} = \arccos(0,3033) = 72,345^\circ$

Eredmények 25Hz esetén

A tekercs induktív látszólagos ellenállása:

$$X_{L25} = \omega L = 2\pi f L = 2\pi \cdot 25 \frac{1}{s} \cdot 10 H = 2\pi \cdot 25 \frac{1}{s} \cdot 10 \frac{Vs}{A} = 500\pi \Omega = 1570,8 \Omega$$

Az impedancia:

$$Z_{25} = \sqrt{R^2 + X_L^2} = \sqrt{1000 \Omega^2 + 1570,8 \Omega^2} = 1862,1 \Omega$$

Az áramerősség:

$$|I_{25}| = \frac{U_0}{Z_{25}} = \frac{100 V}{1862,1 \Omega} = 53,7 mA$$

A tekercsen eső feszültség:

$$U_{L25} = X_{L25} \cdot I_{25} = 1570,8 \Omega \cdot 53,7 mA = 84,35 V$$

Az ellenálláson eső feszültség:

$$U_{R25} = R \cdot I_{25} = 1000 \Omega \cdot 53,7 mA = 53,7 V$$

A forrásfeszültség ellenőrzése:

$$|U_0| = \sqrt{U_{R25}^2 + U_{L25}^2} = \sqrt{(84,35 V)^2 + (53,7 V)^2} = 100 V$$

A kondenzátor meddő teljesítménye:

$$Q_{L25} = U_{L25} \cdot I_{25} = 84,35 V \cdot 53,7 mA = 4,52 VAR$$

Az ellenállás hatásos teljesítménye:

$$P_{25} = U_{R25} \cdot I_{25} = 53,7 V \cdot 53,7 mA = 2,88 W$$

A látszólagos teljesítmény:

$$|S_{25}| = \sqrt{P_{25}^2 + Q_{L25}^2} = \sqrt{2,88 W^2 + 4,52 var^2} = 5,37 VA$$

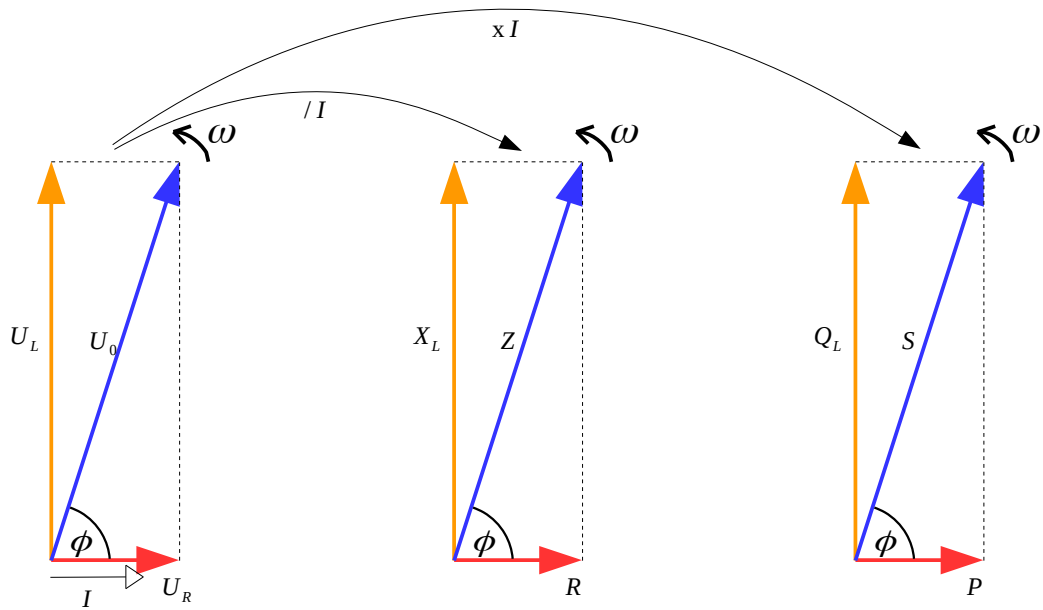
$$|S_{25}| = U_0 \cdot I_{25} = 100 V \cdot 53,7 mA = 5,37 VA$$

A $\cos \phi$, 25 Hz esetén:

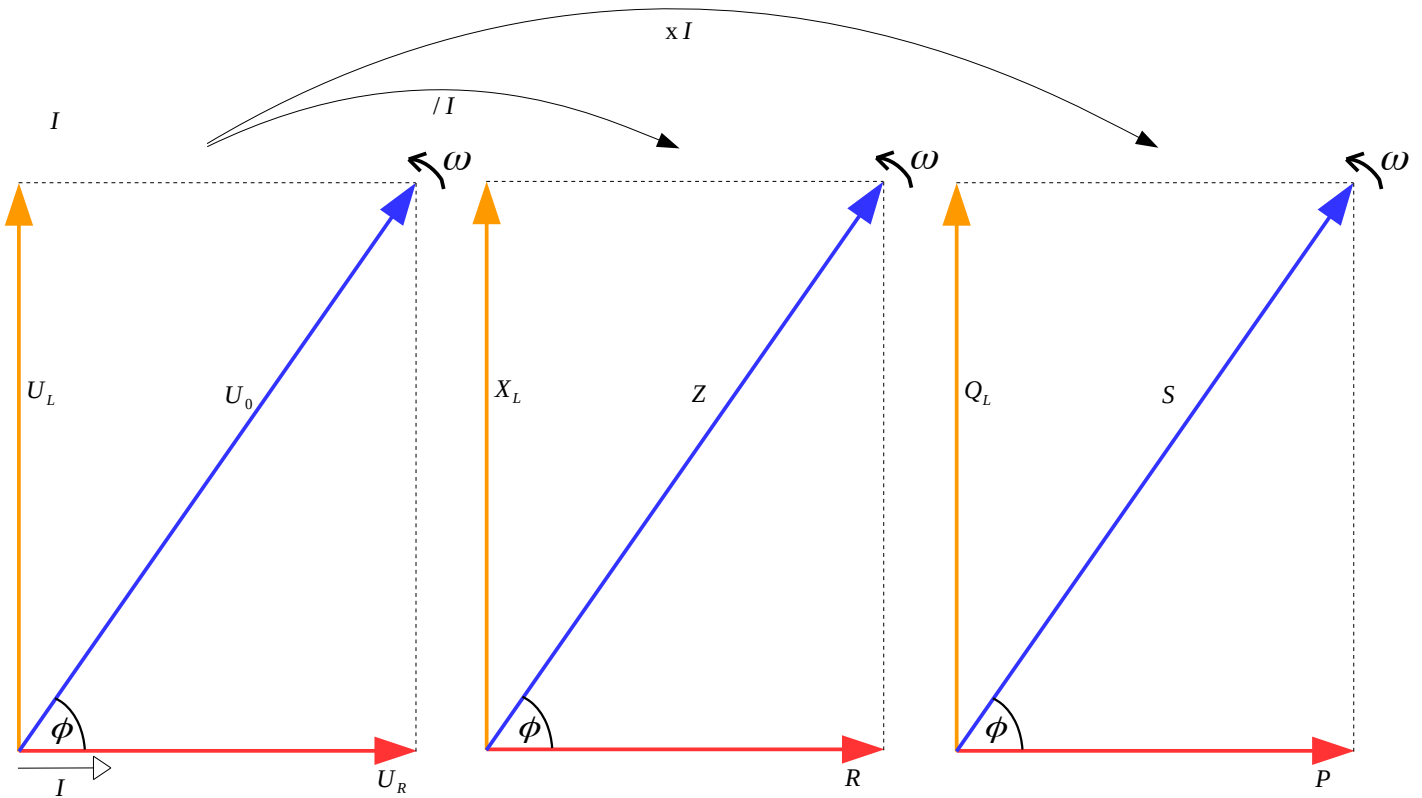
$$\cos \phi_{25} = \frac{U_{R25}}{U_0} = \frac{53,7 V}{100 V} = \frac{R}{|Z_{25}|} = \frac{1000 \Omega}{1862,1 \Omega} = \frac{P_{100}}{|S_{100}|} = \frac{2,88 W}{5,37 VA} = 0,537$$

A ϕ fázisszög (a feszültség-fázorábrából), 25 Hz esetén, : $\phi_{25} = \arccos(0,537) = 57,52^\circ$

2. táblázat	50 Hz esetén	25 Hz esetén
Az ellenállás, R	1000 Ω	1000 Ω
A reaktancia, X_L	3141,59 Ω	1570,8 Ω
Az impedancia, Z	3296,9 Ω	1862,1 Ω
Az ellenállás feszültsége, U_R	30,33 V	53,2 V
A kondenzátor feszültsége, U_L	95,29 V	84,35 V
A forrás feszültsége, U_0	100 V	100 V
Az áramerősség, I	30,33 mA	53,7 mA
A hatásos teljesítmény, P	0,92 W	2,88 W
A meddő teljesítmény, Q_L	2,89 VAR	4,52 VAR
A látszólagos teljesítmény, S	3,033 VA	5,37 VA
A fázistényező, $\cos \phi$	0,3033	0,537
A fázisszög, ϕ	72,54 $^\circ$	57,52 $^\circ$



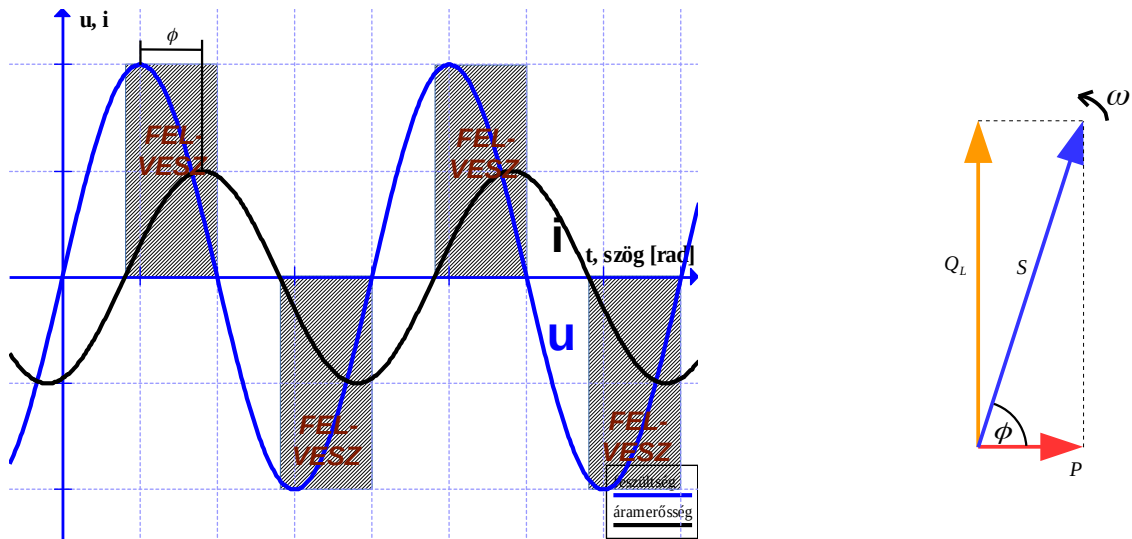
11. ábra A fázorábrák 50 Hz-es frekvenciájú forrás esetén (feszültség-, impedancia- és teljesítmény-)



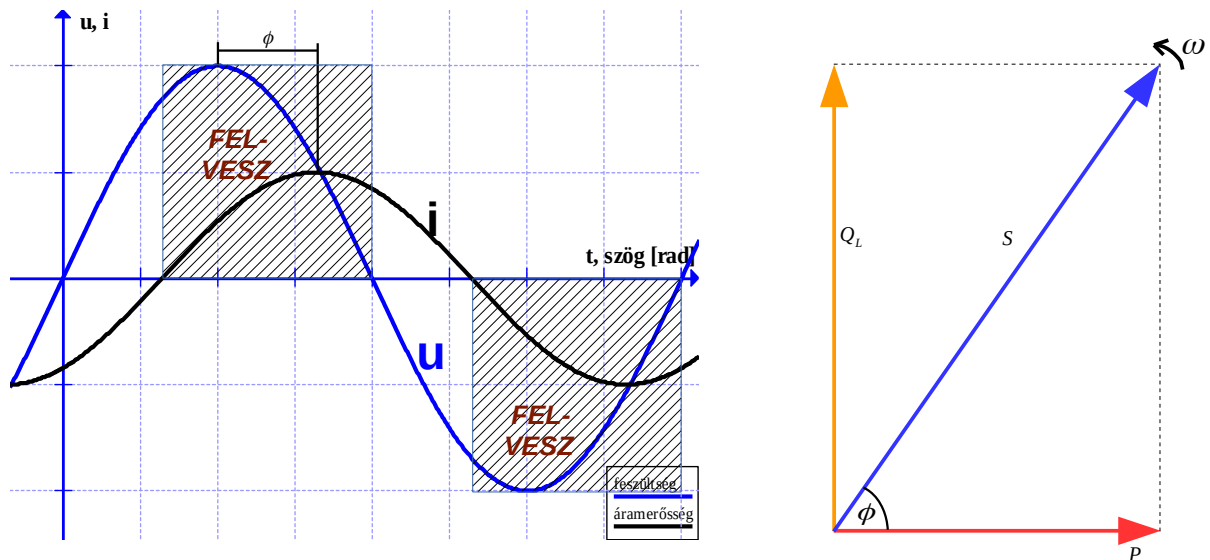
12. ábra A fázorábrák 25 Hz-es frekvenciájú forrás esetén (feszültség-, impedancia- és teljesítmény-)

A fázorábrákból megállapítható, hogy csökkenő frekvencia esetén a tekercs reaktanciája csökken, a határos teljesítményhez képest arányaiban csökken a meddő teljesítmény, valamint a ϕ szög is. A $\cos \phi$ értéke nő, így az impedancia kevésbé induktív jellegű.

$$\downarrow f \Rightarrow \downarrow X_L \Rightarrow \uparrow P \text{ és } \downarrow Q_L \text{ és } \downarrow \phi \Rightarrow \text{a soros RL-kör impedanciája kevésbé induktív}$$



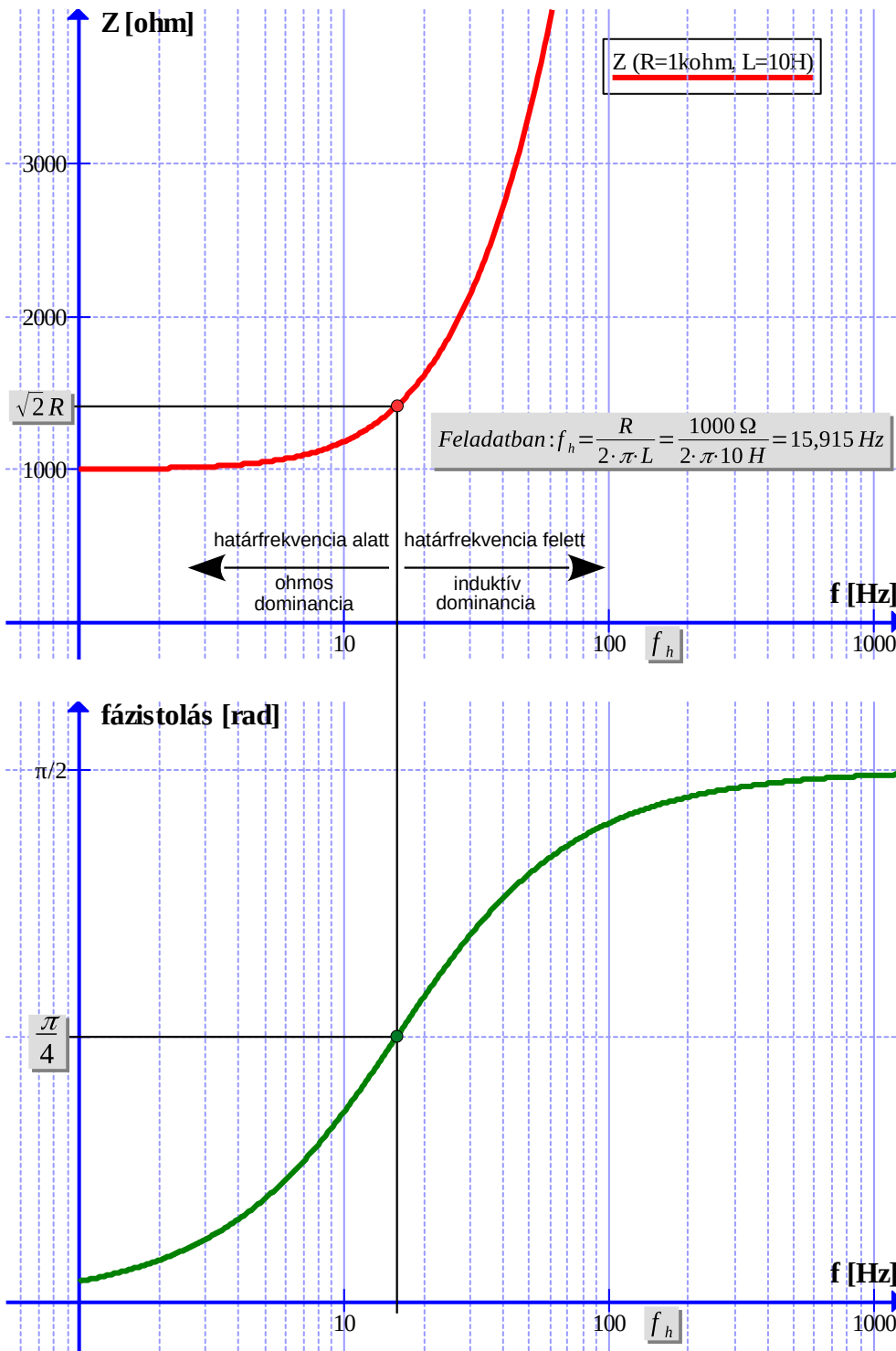
13. ábra A feladatban szereplő soros RL-kör áram- és feszültségviszonya, valamint a teljesítmény-fázorábrája 50 Hz esetén ($U_0=100\text{ V}$, $I=30,33\text{ mA}$, $\phi=72,54^\circ$)



14. ábra A feladatban szereplő soros RL-kör áram- és feszültségviszonya, valamint a teljesítmény-fázorábrája 25 Hz esetén ($U_0=100\text{ V}$, $I=53,7\text{ mA}$, $\phi=57,52^\circ$)

A 11. és 12. ábra tanúsága szerint, amennyiben csökken a frekvencia, a csökkenő induktív reaktancia miatt a hatásos teljesítmény és a meddő teljesítmény aránya javul, a ϕ szög csökken, a $\cos \phi$ értéke nő. Ennek eredménye az, hogy a soros RL-kör, mint impedancia egyre kevésbé mutat induktív jelleget. A teljes periódusra vonatkoztatott hatásos (felvett) teljesítmény egyre nagyobb.

3. táblázat	Tisztán induktív terhelés 	Induktív jellegű terhelés ($ X_L >0; R>0$) 	Tisztán ohmos terhelés ($X_L=0; R>0$)
Fázistényező, $\cos \phi$:	0	$[0; 1]$	1
Fázisszög, $ \phi $:	90	$[0; 90]$	0
Teljesítmény:	$S=\sqrt{P^2+Q_L^2}; P=0$ $S=Q_L$	$S=\sqrt{P^2+Q_L^2}$	$S=\sqrt{P^2+Q_L^2}; Q_L=0$ $S=P$

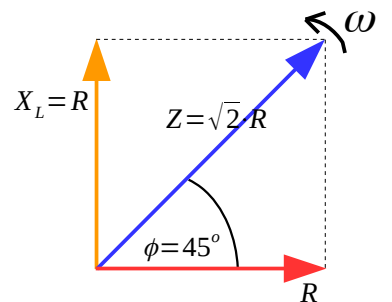


15. ábra A soros RL-kör fázisszögének és impedanciájának frekvenciafüggése

A soros RL-kör impedanciáját a frekvencia-fázisszög, valamint frekvencia-impedancia karakterisztikájával is jellemezhetjük, melyekkel a fázisszög és az impedancia frekvenciafüggéséről kaphatunk képet. Ez fontos lehet az ilyen jellegű impedanciák-ból kialakított négyfólusok viselkedésének vizsgálatakor is.

Létezik egy nevezetes frekvencia, melyet határfrekvenciának nevezünk (f_h). A határfrekvencián az induktív reaktancia nagysága megegyezik az ellenállás értékével:

$$(f_h) \Rightarrow |X_L| = R.$$



16. ábra Fázorábra a határfrekvencián

A reaktanciák egyezése esetén természetesen a komponensek feszültségeinek, valamint a teljesítményeinek nagysága is megegyező:

$$f_h \Rightarrow \begin{cases} |U_L| = U_R; \\ |Q_L| = P. \end{cases}$$

$$f_h \Rightarrow |X_L| = R$$

$$\omega L = R$$

$$2 \cdot \pi \cdot f_h \cdot L = R$$

$$f_h = \frac{R}{2 \cdot \pi \cdot L}$$

A fázisszög kiszámítására két mód van:

$$1. \quad \cos \phi = \frac{R}{Z} = \frac{R}{\sqrt{R^2 + X_L^2}} = \frac{R}{\sqrt{R^2 + (\omega \cdot L)^2}} = \frac{R}{\sqrt{R^2 + (2 \cdot \pi \cdot f \cdot L)^2}} \Rightarrow \phi = \arccos\left(\frac{R}{Z}\right)$$

$$2. \quad \sin \phi = \frac{X_L}{Z} = \frac{X_L}{\sqrt{R^2 + X_L^2}} = \frac{\omega \cdot L}{\sqrt{R^2 + (\omega \cdot L)^2}} = \frac{2 \cdot \pi \cdot f \cdot L}{\sqrt{R^2 + (2 \cdot \pi \cdot f \cdot L)^2}} \Rightarrow \phi = \arcsin\left(\frac{X_L}{Z}\right)$$

Végezetül tekintsük át, hogy a 15. ábra szerinti $f - Z$ és $f - \phi$ karakterisztikák függvényeit miként tudjuk megalkotni.

Frekvencia-impedancia karakterisztika

Az impedancia frekvenciafüggősége: $Z = \sqrt{R^2 + X_L}$ ebből $Z = \sqrt{R^2 + (\omega \cdot L)^2}$
 $Z = \sqrt{R^2 + (2 \cdot \pi \cdot f \cdot L)^2}$

Példánkban $R = 1k\Omega$ és $L = 1H$, így $Z = \sqrt{(1000\Omega)^2 + (2 \cdot \pi \cdot f \cdot 10H)^2}$

Az állandókat írjuk be mértékegység nélkül: $Z = \sqrt{10^6 + 2^2 \cdot \pi^2 \cdot f^2 \cdot 10^2}$

A független változó a frekvencia, a függvényérték pedig az impedancia, így az ábrázolandó függvény:

$$y = \sqrt{10^6 + 400 \cdot \pi^2 \cdot x^2}$$

Átírva hatványalakba:

$$y = (10^6 + 400 \cdot \pi^2 \cdot x^2)^{\frac{1}{2}}$$

A Graph függvényrajzoló program¹ segítségével könnyen ábrázolhatjuk a kapott függvényt:



$y = (10^6 + 400 \cdot \pi^2 \cdot x^2)^{\frac{1}{2}}$ \longrightarrow ebből a Graph megadás: $y = (10^6 + 400 \cdot \pi^2 \cdot x^2)^{(1/2)}$

Frekvencia-fázisszög karakterisztika

A fázisszög frekvenciafüggősége: $\cos \phi = \frac{R}{Z} = \frac{R}{\sqrt{R^2 + X_L^2}} = \frac{R}{\sqrt{R^2 + (\omega \cdot L)^2}} = \frac{R}{\sqrt{R^2 + (2 \cdot \pi \cdot f \cdot L)^2}}$

$\phi = \arccos\left(\frac{R}{Z}\right)$ tehát $\phi = \arccos\frac{R}{\sqrt{R^2 + (2 \cdot \pi \cdot f \cdot L)^2}}$

Példánkban $R = 1k\Omega$ és $L = 1H$, így $\phi = \arccos\frac{1000\Omega}{\sqrt{(1000\Omega)^2 + (2 \cdot \pi \cdot f \cdot 10H)^2}}$

Az állandókat írjuk be mértékegység nélkül: $\phi = \arccos\frac{10^3}{\sqrt{10^6 + 4 \cdot \pi^2 \cdot f^2 \cdot 10^2}}$

A független változó a frekvencia, a függvényérték pedig a fázisszög, így az ábrázolandó függvény:

$y = \arccos\frac{10^3}{\sqrt{10^6 + 400 \cdot \pi^2 \cdot x^2}}$ átírva hatványalakba: $y = \frac{10^3}{(10^6 + 400 \cdot \pi^2 \cdot x^2)^{\frac{1}{2}}}$

Az $y = \arccos\frac{10^3}{(10^6 + 400 \cdot \pi^2 \cdot x^2)^{\frac{1}{2}}}$ függvényből a Graph alak: $y = \text{acos}(10^3 / ((10^6 + 400 \cdot \pi^2 \cdot x^2)^{(1/2)}))$

¹ Graph függvényrajzoló program: <https://www.padowan.dk/download/>